

$\#_{\text{п/и}}$	$a$	$\sigma$	$s^2(\tilde{x}(\infty))$	$s^2(\tilde{x} \times (\alpha_{\min}))$	$\alpha_{\min}$	$\#_{\text{п/и}}$	$a$	$\sigma$	$s^2(\tilde{x}(\infty))$	$s^2(\tilde{x} \times (\alpha_{\min}))$	$\alpha_{\min}$
1	0,0025	0,02	0,00075	0,00014	2,2	11	0,0075	0,02	0,0059	0,00021	0,8
2	0,0025	0,04	0,00091	0,00042	4,2	12	0,0075	0,04	0,0061	0,00065	1,5
3	0,0025	0,06	0,0012	0,00079	7,0	13	0,0075	0,06	0,0063	0,0012	2,2
4	0,0025	0,08	0,0016	0,0013	10,0	14	0,0075	0,08	0,0067	0,0019	2,9
5	0,0025	0,10	0,0020	0,0018	16,0	15	0,0075	0,10	0,0072	0,0028	3,6
6	0,005	0,02	0,0027	0,00018	1,2	16	0,01	0,02	0,010	0,00024	0,6
7	0,005	0,04	0,0028	0,00055	2,2	17	0,01	0,04	0,011	0,00073	1,2
8	0,005	0,06	0,0034	0,0010	3,2	18	0,01	0,06	0,011	0,0014	1,7
9	0,005	0,08	0,0035	0,0016	4,2	19	0,01	0,08	0,011	0,0022	2,2
10	0,005	0,10	0,0040	0,0023	5,0	20	0,01	0,10	0,012	0,0031	2,7

Выберем в качестве оценки величины  $\alpha^*$  значение  $\alpha_{\min}$ , доставляющее минимум функционалу  $\tilde{J}_0(\alpha)$ .

**3. Алгоритм и пример применения.** Алгоритм вычисления оценки  $\tilde{x}(\alpha_{\min})$  состоит из следующей последовательности операций:

- 1) составляется матрица  $M$  и вычисляется матрица  $M^T M$ ;
- 2) вычисляются собственные значения  $\{\lambda_i\}_{1}^{n-m}$  и собственные векторы  $\{p_i\}_{1}^n$  матрицы  $M^T M$  и строится матрица

$$P = \|p_1 : \dots : p_n\|;$$

- 3) находится значение вектора  $\tilde{z} = P^T y$ ;
- 4) находится значение  $\alpha_{\min}$ , доставляющее минимум функции  $\tilde{J}_0(\alpha)$ ;
- 5) вычисляется оценка

$$\tilde{x}(\alpha_{\min}) = P(I + \alpha_{\min} L)^{-1} \tilde{z}.$$

Покажем эффективность оценки  $\tilde{x}(\alpha_{\min})$  на следующем модельном примере. Пусть нестационарный периодический процесс удовлетворяет модели

$$y(i) = (1 + ai) \sin(2\pi 10i/n) + \varepsilon_i;$$

$$\varepsilon_i \in N(0, \sigma^2), n = 50; i = 1, \dots, n.$$

Среднеквадратические ошибки оценивания его детерминированной составляющей по методу наименьших квадратов с ограничениями и с помощью выражения  $\tilde{x}(\alpha_{\min})$  при различных сочетаниях параметров  $a$  и  $\sigma$  представлены в таблице.

#### ЛИТЕРАТУРА

1. Андерсон Т. Статистический анализ временных рядов.— М.: Мир, 1976.
2. Себер Д. Линейный регрессионный анализ.— М.: Мир, 1980.

Поступила в редакцию 26 февраля 1986 г.

УДК 621.347.7

И. И. КРАСНЕНКО, В. А. ФЕДОРОВ  
(Томск)

#### ИССЛЕДОВАНИЕ ТОЧНОСТНЫХ ХАРАКТЕРИСТИК ДВУХТОЧЕЧНОГО КОРРЕЛЯЦИОННОГО МЕТОДА ИЗМЕРЕНИЯ ЧАСТОТЫ УЗКОПОЛОСНЫХ СЛУЧАЙНЫХ СИГНАЛОВ

Цель данной работы — исследование точностных характеристик двухточечного корреляционного метода (ДКМ) измерения частоты узкополосных стационарных случайных сигналов в сравнении с методом счета нулей (МСН), который является одним из самых популярных на 38

практике. Статистические характеристики МСН достаточно хорошо изучены, для ДКМ таких исследований не проводилось, за исключением описанных в [1] тестовых испытаний при дистанционных акустических доплеровских измерениях скорости ветра  $V$  ( $V = cf_a/2f_n$ , где  $c$  — скорость звука;  $f_d = f_c - f_n$  — доплеровский сдвиг частоты принимаемого сигнала  $f_c$  относительно излучаемой  $f_n$ ). В работе [2] приведен ряд профилей  $V$ , полученных ДКМ и спектральными методами в сравнении с эталонными локальными измерениями, проводимыми на башне. На основании достаточно хорошего совпадения всех указанных профилей и с учетом простоты реализации делается вывод о преимущественном использовании ДКМ. В то же время не приводятся величины достигаемых в ходе экспериментов отношений сигнал/шум (С/Ш) и не указаны ограничения данного метода, которые, как укажем ниже, существуют. Целесообразно показать реальные возможности этого метода, учитывая его возможное применение не только в акустическом зондировании атмосферы, но и в других областях.

Идея ДКМ измерения частоты узкополосных сигналов, корреляционная функция (КФ) которых представима в виде  $B_c(\tau) = \sigma_c^2 \rho_c(\tau) \times \cos 2\pi f_c \tau$ , где  $\sigma_c^2$  — мощность сигнала;  $f_c$  — средняя частота;  $\rho_c(\tau)$  — огибающая КФ, достаточно проста. Учитывая, что  $\rho_c(\tau)$  — медленно меняющаяся функция по сравнению с высокочастотным заполнением, зашумлен отношение двух значений КФ  $B_c(\tau)$  при некотором малом  $\tau = \tau_1$  и  $\tau = 0$ :

$$B_c(\tau_1)/B_c(0) \approx \cos 2\pi f_c \tau_1. \quad (1)$$

Отсюда получается выражение для оценки частоты

$$\hat{f}_c = \arccos R / (2\pi\tau_1), \quad (2)$$

где  $R = \hat{B}(\tau_1)/\hat{B}(0)$ ;  $\hat{B}(\tau_1)$  и  $\hat{B}(0)$  — измеренные значения КФ. При этом предполагаем, что на вход измерительной системы поступает не только исследуемый полезный сигнал  $s(t)$ , но и аддитивный шум  $n(t)$ . Поэтому измеряться будет КФ смеси «сигнал + шум», т. е.

$$\hat{B}(\tau) = \frac{1}{T - |\tau|} \int_0^{T-|\tau|} x(t) x(t + |\tau|) dt, \quad (3)$$

здесь  $x(t) = s(t) + n(t)$ . В дальнейшем считаем, что  $s(t)$  и  $n(t)$  — некоррелированные гауссовые дифференцируемые процессы с нулевыми средними и КФ шума в полосе пропускания приемной системы  $\Delta f$  с центральной частотой  $f_n$  аналогично  $B_c(\tau)$  имеет вид  $B_{\text{ш}}(\tau) = \sigma_{\text{ш}}^2 \rho_{\text{ш}}(\tau) \times \cos 2\pi f_n \tau$ . Если шум белый со спектральной плотностью  $N_0$ , то  $\sigma_{\text{ш}}^2 = N_0 \Delta f$ ;  $\rho_{\text{ш}}(\tau) = \sin \pi \tau \Delta f / \pi \tau \Delta f$ . Исследуем статистические характеристики ДКМ. Вначале отметим, что метод однозначен, если  $2\tau_1 f_c \leq 1$ . Выполнить это условие на практике обычно не составляет труда. Гораздо сложнее правильно выбрать  $\tau_1$ , которое обеспечивало бы минимальную погрешность измерений. Причем зачастую наиболее важная задача есть обеспечение минимальных систематических ошибок, так как случайные ошибки на практике часто можно уменьшить простым усреднением результатов измерений. При  $\tau_1 = 1/4f_c$  соотношение (1) выполняется точно, следовательно, и оценка (2) также наиболее точна с точки зрения систематических ошибок. Однако такая ситуация на практике нереальная, так как априори  $f_c$  неизвестна. Чем меньше  $\tau_1$ , тем точнее выполняется (1), однако представляет интерес изучение ошибок и при больших  $\tau_1$ . Таким образом, исследуем систематические ошибки измерений  $\delta_f = M[\hat{f}_c] - f_c$ , где  $M[\cdot]$  — символ математического ожидания, при  $\tau_{\min} \ll \ll 1/2f_c$ ,  $\tau_{\max} \simeq 1/2f_c$  и при  $\tau_1$  вблизи  $\tau_{\text{опт}} = 1/4f_c$ . Применим метод линеаризации и учитывая несмещенност оценки (3) относительно КФ смеси  $s(t)$  и  $n(t)$  [3], а также разлагая КФ сигнала и шума в ряд Тейлора

при рассматриваемых малых  $\tau$ :  $B(\tau) = B(0) + B''(0)\tau^2/2 + O(\tau^4)$  и учитывая известную связь производных КФ при  $\tau=0$  с алгебраическими спектральными моментами [4], получаем искомые характеристики оценки (2) в указанных областях  $\tau$ .

При  $\tau_1 = \tau_{\min}$  (или для введенных безразмерных параметров при  $\lambda \ll 1/2k$ )

$$M[\hat{f}_c] = f_c \{1 + (q + s_1^2 + 4k\gamma + \gamma^2)/[4k^2(q + 1)]\}^{1/2}, \quad (4)$$

где  $q := \sigma_c^2/\sigma_{\text{ш}}^2$  — отношение С/Ш;  $s_1 = 2\Delta f_{\text{ш}}/2\Delta f_{\text{с}}$  — отношение эффективных спектральных ширин шума  $2\Delta f_{\text{ш}}$  и сигнала  $2\Delta f_{\text{с}}$ , причем в качестве ширины спектра принято ее определение через удвоенную среднеквадратичную ширину, т. е.  $\Delta f_s = \sqrt{\chi_2[G(f)]}$ , здесь  $\chi_2[G(f)] = \int_0^\infty (f - \bar{f})^2 G(f) df / \int_0^\infty G(f) df$  — второй нормированный центральный момент спектральной плотности  $G(f)$  (в случае сигнала  $G_c(f)$  и  $\bar{f} = f_c$ , шума  $G_{\text{ш}}(f)$  и  $\bar{f} = f_{\text{ш}}$ );  $k = f_c/2\Delta f_{\text{ш}}$  — коэффициент узкополосности сигнала;  $\gamma = (f_n - f_c)/\Delta f_{\text{ш}}$  — относительная расстройка центральных частот приемной системы и исследуемого сигнала. Если при доплеровских измерениях  $f_n$  выбрана равной излучаемой частоте  $f_n$ , то  $\gamma = -f_d/\Delta f_{\text{ш}}$  — относительный доплеровский сдвиг (в дальнейшем рассматривается только этот случай);  $\lambda = 2\Delta f_{\text{ш}}\tau_1$  — безразмерный аргумент КФ.

Заметим, что из соотношения (8.14) монографии [4] для среднего числа выбросов в единицу времени при введении наших параметров следует выражение для  $M[\hat{f}_c]$  метода счета нулей, полностью совпадающее с формулой (4). Следовательно, можно утверждать, что систематические ошибки измерения частоты ДКМ при данном выборе  $\tau_1$  и МСН практически совпадают. Так, даже при отсутствии шумов измеряется не центральная частота сигнала, а величина, равная корню квадратному из второго начального момента его спектральной плотности, которая всегда больше истинной частоты  $f_c$ , т. е.

$$\lim_{q \rightarrow \infty} M[\hat{f}_c] = (f_c^2 + \Delta f_{\text{ш}}^2)^{1/2} = \left( \int_0^\infty f^2 G_c(f) df / \int_0^\infty G_c(f) df \right)^{1/2}.$$

Однако при обработке узкополосных сигналов эта разница для практики часто несущественна.

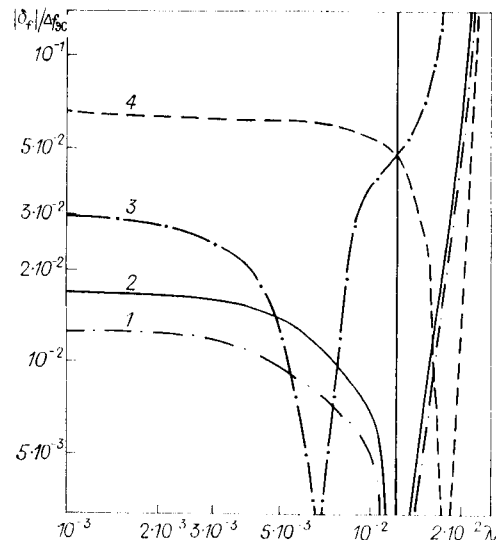
Оценим влияние шума. Из (4), учитывая, что для рассматриваемых реальных параметров узкополосных сигналов и обрабатывающих систем числитель дроби существенно меньше ее знаменателя, и используя известную связь  $\sqrt{1 \pm x} \approx 1 \pm x/2$ , получаем более удобную для анализа форму этого выражения:

$$\delta_f/\Delta f_{\text{ш}} = (q + s_1^2 + 4k\gamma + \gamma^2)/[4k(q + 1)]. \quad (5)$$

Первые два члена характеризуют систематические ошибки, обусловленные уменьшением коэффициента узкополосности исследуемой смеси сигнала и шума из-за увеличения их совместной эффективной спектральной ширины. Они играют определяющую роль при больших отношениях С/Ш или при малых  $|f_d|$ . Данные ошибки всегда вызывают увеличение измеренных значений  $f_c$  относительно истинных, что приводит к завышению положительных доплеровских сдвигов (или положительных скоростей ветра для случая акустического зондирования атмосферы) и, наоборот, к их занижению по абсолютной величине при  $f_d < 0$ . Третий член характеризует ошибки, обусловленные расстройкой центральных частот измерительной системы и исследуемого сигнала вследствие доплеровских сдвигов: при фиксированном отношении С/Ш с увеличением  $|f_d|$  систематические ошибки измерения  $f_c$  также увеличиваются. Причем при  $f_d > 0$  измеренное значение  $f_c$  будет заниженным, а при  $f_d < 0$  — завышенным. В обоих случаях эта составляю-

Относительные систематические ошибки ДКМ измерения частоты при  $k = 20$ :

кривая 1 соответствует значению  $q = \infty$ ;  
кривая 2 —  $q = 20$ ,  $\gamma = 0$ ; кривая 3 —  $q = 20$ ,  
 $\gamma = -1$ ; кривая 4 —  $q = 20$ ,  $\gamma = 1$



щая ошибки (5) приведет к занижению абсолютных значений  $f_d$  и  $V$ . Величина этого смещения определяется отношением С/Ш. Влияние четвертого аддитивного члена менее существенно по сравнению с остальными. Наряду с первыми двумя членами, он приводит к увеличению измеренных значений  $f_c$  относительно истинных.

Учитывая различный характер вкладов в  $\delta_f/\Delta f_{ac}$  при  $f_d > 0$  аддитивных членов (5) и их одинаковую направленность при  $f_d < 0$ , можно сделать вывод о том, что при данном выборе  $\tau_1$  для ДКМ, как и для МСИ, измерение положительных доплеровских сдвигов и скоростей будет сопровождаться меньшими систематическими ошибками, чем измерение отрицательных. Причем при определенной комбинации параметров сигнала, шума и измерительной системы, соответствующей доплеровским частотам  $f_d \approx \Delta f_{ac}^2 (q + s_1^2)/2f_u$ , указанные ошибки близки к нулю. Однако на практике такие ситуации неконтролируются.

При  $\tau_1 = \tau_{\max}$  ( $\lambda = 1/2k$ )  $\delta_f/\Delta f_{ac} = -[(q + s_1^2 + \gamma^2)/(q + 1)]^{1/2}$ , откуда следует, что даже в случае отсутствия шума систематические ошибки  $\lim_{q \rightarrow \infty} \delta_f = -\Delta f_{ac}$  являются недопустимо большими.

При  $\tau_1$  вблизи  $\tau_{\text{опт}}$  (при  $\lambda$  вблизи  $\lambda_{\text{опт}} = 1/4k$ )

$$\frac{\delta_f}{\Delta f_{ac}} = \frac{\gamma}{q + 1} - \frac{\pi^2}{4(q + 1)} \left[ q + s_1^2 + \gamma^2 + \frac{3s_1^2\gamma}{2k} + \frac{\gamma^3}{2k} \right] (\lambda - \lambda_{\text{опт}}), \quad (6)$$

т. е. даже в случае  $\tau_1 = \tau_{\text{опт}}$ , но при наличии шума и частотной расстройки  $\gamma$  оценка  $f_c$  ДКМ является смещенной на величину первого члена в (6). При больших отношениях С/Ш или малых  $f_d$  превалируют ошибки, обусловленные неточным выбором  $\tau_1$  и в пределе  $\lim_{q \rightarrow \infty} \delta_f/\Delta f_{ac} = -\pi^2(\lambda - \lambda_{\text{опт}})/4$ .

В качестве примера на рисунке приведены относительные систематические ошибки ДКМ измерения частоты при варьировании параметра  $\lambda$  от  $\lambda_{\min}$  до  $\lambda_{\max}$  при различных частотных расстройках  $\gamma$  и отношениях С/Ш (при  $q = \infty$   $\gamma$  любое, если выполняется  $|\gamma| < s$ ). Расчеты проводились для случая белого шума в полосе приемной системы  $\Delta f$  и вместо параметра  $s_1$  был введен более наглядный параметр  $s = \Delta f/2\Delta f_{ac} = 5$ , характеризующий степень охвата  $\Delta f$  исследуемого спектра сигнала. (Связь  $s$  и  $s_1$  выражается соотношением  $s = \sqrt{3}s_1$ , так как  $\Delta f_{\text{ши}} = \Delta f/2\sqrt{3}$ .) Вертикальная прямая на рисунке соответствует значению  $\lambda = \lambda_{\text{опт}} = 0,0125$ .

Анализируя вышеприведенные соотношения и результаты, представленные на рисунке, можно сделать вывод о том, что систематические ошибки с учетом возможных доплеровских сдвигов разных знаков минимальны вблизи  $\tau_{\text{опт}} = 1/4f_c$ . Однако на практике значение  $f_c$  априори неизвестно, поэтому можно только минимизировать эти ошибки. Указанное достигается выбором  $\tau_1$ , равным четверти периода излучаемой (опорной) частоты, т. е.  $\tau_1 = 1/4f_u$ . Тогда, отбрасывая несущественные

члены порядка  $O(\gamma^2/k^3)$ , можно получить

$$\frac{\delta_f}{\Delta f_{\text{sc}}} = \left( \frac{1}{q+1} + \frac{q}{q+1} \frac{\pi^2}{32k^2} \right) \gamma + O(\gamma^2/k^3). \quad (7)$$

В частности,  $\lim_{q \rightarrow \infty} \delta_f/\Delta f_{\text{sc}} = \pi^2 \gamma / 32k^2$ , что существенно меньше аналогичных ошибок при  $\tau_1 = \tau_{\min}$  ДКМ и МСИ.

Таким образом, при данном выборе  $\tau_1$  в отличие от  $\tau_1 = \tau_{\min}$  и МСИ при фиксированном  $q$  абсолютные систематические ошибки измерения  $f_c$ ,  $f_d$  и  $V$  практически полностью определяются расстройкой центральных частот измерительной системы и исследуемого сигнала, т. е. самими измеряемыми значениями  $f_d$ . Относительные же ошибки измерения  $f_c$  и  $V$  не зависят от измеряемых доплеровских сдвигов, а полностью определяются отношением С/Ш на входе измерительной системы. Это непосредственно следует из (7) без учета малого второго члена:

$$\delta_f/f_d = -1/(q+1) = \delta V/V. \quad (8)$$

Так, при  $q = 100$   $\delta_f/f_d = -1\%$ , при  $q = 20 - 5\%$ , при  $q = 10 - 9\%$ . С дальнейшим уменьшением отношения С/Ш ошибки резко возрастают и измеренные значения  $f_c$  стремятся к центральной частоте приемной системы  $f_n$ , а  $f_d$  и  $V$  — к нулю.

Таким образом, при выборе  $\tau_1 = 1/4f_n$  в отличие от МСИ и  $\tau_1 = \tau_{\min}$  при  $q = \text{const}$  обеспечивается постоянная относительная точность измерения доплеровских частот и скоростей. При этом одновременно обеспечивается и большая точность для больших отношений С/Ш или измерений малых  $f_d$ . Так, в случае отсутствия шума из (7) минимальная относительная ошибка равна  $\delta_f/f_d = -\pi^2 \Delta f_{\text{sc}}^2 / 8f_c^2$ , в то же время из (5)  $\delta_f/f_d = \Delta f_{\text{sc}}^2 / 2f_c f_d$ . Однако в остальных случаях, как это следует из (5) и (7), относительные систематические ошибки измерения доплеровских частот и скоростей примерно одинаковы и определяются соотношением (8). Учитывая отмеченные выше определенные преимущества выбора  $\tau_1 = 1/4f_n$  и то, что чувствительность ДКМ к изменению  $f_d$  максимальна именно при этом  $\tau_1$ , можно сделать вывод о предпочтительном выборе  $\tau_1 = 1/4f_n$ . В пользу данного выбора  $\tau_1$  говорит и то, что цифровая реализация метода в данном случае требует существенно меньшей частоты дискретизации, чем для  $\tau_1 = \tau_{\min}$ , что позволяет проводить измерения в реальном масштабе времени [1].

Рассмотрим случайные ошибки ДКМ, определяемые дисперсией  $D[\widehat{f}_c]$ . Применяя метод линеаризации к оценке (2), учитывая несменяемость (3) относительно КФ смеси сигнала и шума и результаты, приведенные в [3] для ковариационной функции  $\text{cov}[\widehat{B}(\tau_1), \widehat{B}(\tau_2)]$  оценок КФ (3), после замены переменных  $z = 2\Delta f_{\text{sc}}\tau$  получаем

$$\frac{D[\widehat{f}_c]}{\Delta f_{\text{sc}}^2} = \frac{D[\widehat{B}_n(\lambda)] + r^2 D[\widehat{B}_n(0)] - 2r \text{cov}[\widehat{B}_n(\lambda), \widehat{B}_n(0)]}{\pi^2 \lambda^2 (q+1)^2 (1-r^2)}, \quad (9)$$

$$D[\widehat{B}_n(\lambda)] = \frac{1}{b_1 - \lambda} \int_{-(b_1 - \lambda)}^{b_1 - \lambda} \left(1 - \frac{|z|}{b_1 - \lambda}\right) [B_n^2(z) + B_n(z + \lambda) B_n(z - \lambda)] dz;$$

$$D[\widehat{B}_n(0)] = \frac{4}{b_1} \int_0^{b_1} \left(1 - \frac{z}{b_1}\right) B_n^2(z) dz; \quad r = B_n(\lambda)/B_n(0);$$

$$\text{cov}[\widehat{B}_n(\lambda), \widehat{B}_n(0)] = \frac{2}{b_1 - \lambda} \int_{-(b_1 - \lambda)}^{b_1} \varphi(z) B_n(z) B_n(z - \lambda) dz;$$

$$\varphi(z) = \begin{cases} 1 - z/b_1, & \lambda < z; \\ 1 - \lambda/b_1, & 0 \leq z \leq \lambda; \\ 1 - (\lambda - z)/b_1, & z < 0; \end{cases}$$

$$B_{\text{п}}(z) = [B_{\text{с}}(z) + B_{\text{ш}}(z)]/\sigma_{\text{ш}}^2 = q\rho_{\text{с}}(z)\cos 2\pi kz + \rho_{\text{ш}}(z)\cos \pi z(2k + \gamma) -$$

нормированная на мощность шума КФ аддитивной некоррелированной смеси сигнала и шума;  $b_1 = 2\Delta f_{\text{sc}}T$  — отношение длительности анализа  $T$  к радиусу корреляции сигнала, определяемому как  $1/2\Delta f_{\text{sc}}$ .

В интересующем нас случае выбора  $\tau_1 = 1/4f_{\text{п}} D[\hat{f}_{\text{с}}]$  практически не зависит от  $\gamma$ , и, отбрасывая малые члены при разложении в ряд по этому параметру, имеем

$$D[\hat{f}_{\text{с}}]/\Delta f_{\text{sc}}^2 = D[\hat{B}_{\text{п}}(\lambda_{\text{опт}})]/[\pi\lambda_{\text{опт}}(q+1)]^2 + O(\gamma^2), \quad (10)$$

$$\text{где } B_{\text{п}}(z) = \cos 2\pi kz[q\rho_{\text{с}}(z) + \rho_{\text{ш}}(z)].$$

Рассмотрим случай  $b_1 \gg 1$ , представляющий практический интерес. При этом в (10) можно сделать существенное упрощение, полагая

$D[\hat{B}_{\text{п}}(\lambda_{\text{опт}})] \simeq \frac{1}{b_1} \int_{-\infty}^{\infty} [B_{\text{п}}^2(z) + B_{\text{п}}(z + \lambda_{\text{опт}})B_{\text{п}}(z - \lambda_{\text{опт}})] dz$ . Тогда, предполагая, что сигнал и шум имеют гауссову спектральную плотность, т. е.  $\rho_{\text{с}}(\tau) = \exp(-2\pi^2\Delta f_{\text{sc}}^2\tau^2)$  и  $\rho_{\text{ш}}(\tau) = \exp(-2\pi^2\Delta f_{\text{ш}}^2\tau^2)$ , получаем

$$\frac{D[\hat{f}_{\text{с}}]}{\Delta f_{\text{sc}}^2} = \frac{1}{2\sqrt{\pi}b_1(q+1)^2} \left[ q^2 + q \frac{4s_1^2}{(1+s_1^2)} \sqrt{\frac{2}{1+s_1^2}} + s_1 \right]. \quad (11)$$

В случае белого шума

$$\frac{D[\hat{f}_{\text{с}}]}{\Delta f_{\text{sc}}^2} = \frac{1}{b_1(q+1)^2} \left[ \frac{q^2}{2\sqrt{\pi}} + \frac{2q}{s} + \frac{s}{3} \right]. \quad (12)$$

Из сравнения (11) и (12) при одинаковых параметрах следует, что  $D[\hat{f}_{\text{с}}]$  для белого шума несколько выше, чем для гауссова, что можно объяснить различиями их форм спектра. Наиболее существенное влияние на  $D[\hat{f}_{\text{с}}]$  оказывает величина длительности анализа наблюдения  $T$ , при этом  $D[\hat{f}_{\text{с}}] \sim 1/T$ , т. е. дисперсия, а следовательно и случайная ошибка измерений  $\sigma_f = \sqrt{D[\hat{f}_{\text{с}}]}$  с ростом  $T$  уменьшаются, что является следствием аналогичного хода дисперсий оценок КФ. Поэтому даже при малых отношениях С/Ш  $\sigma_f$  можно в принципе сделать незначительной выбором большого  $T$  (так, для белого шума в пределе  $\sigma_{f,\text{max}} = \lim_{q \rightarrow 0} \sigma_f = \sqrt{\Delta f_{\text{sc}}/12T}$ ). Однако сами измерения частоты будут бессмыслицами из-за больших систематических ошибок. При больших С/Ш случайные ошибки определяются практически только шириной спектра сигнала и длительностью реализации

$$\sigma_{f,\text{min}} = \lim_{q \rightarrow \infty} \sigma_f = \frac{1}{2} \sqrt{\frac{\Delta f_{\text{sc}}}{\sqrt{\pi}T}} \simeq 0,38 \sqrt{\frac{\Delta f_{\text{sc}}}{T}}.$$

Из соотношений (18.35), (18.37) монографии [4] для дисперсии числа пuleй узконаправленного процесса при больших  $T$  при введении наших параметров можно получить аналогичную формулу  $\sigma_{f,\text{min}} \simeq 0,61\sqrt{\Delta f_{\text{sc}}/T}$ , из которой следует, что в данном случае ДКМ имеет определенные преимущества перед МСН.

Отметим, что проведенные расчеты дисперсии оценки частоты по общей формуле (9) при наличии белого шума и при параметре  $s > 1$  показали, что соотношение (12) справедливо с относительной погрешностью не более 5—10%, начиная уже с  $b_1 \geq 1$ , т. е. область примени-

ния данной формулы можно существенно расширить. Результаты расчетов и аналитические выводы показывают, что в случае выбора  $\tau_i = \tau_{\min}$   $D[\hat{f}_c]$  при  $b_1 \gg 1$  и больших отношениях С/Ш практически совпадают с таковыми при  $\tau_i = 1/4f_n$ , но во всех остальных случаях  $D[\hat{f}_c]$  при  $\tau_i = 1/4f_n$  меньше, что является еще одним доводом в пользу этого выбора  $\tau_i$ .

Из вышеприведенных соотношений следует, что измерения малых доплеровских сдвигов при недостаточно большом  $T$  могут сопровождаться большими относительными случайными ошибками даже при больших отношениях С/Ш, так как  $\sigma_f/f_d = \sigma_f/(\Delta f_{sc}|\gamma|)$ . Например, в случае акустических доплеровских измерений скорости ветра при таких типичных параметрах, как  $f_n = 1000$  Гц,  $T = 0,1$  с,  $\Delta f_{sc} = 10-20$  Гц,  $\sigma_f$  имеет величину от 3,8 до 5,4 Гц, что в пересчете на случайные ошибки измерения  $V$  дает величину  $\sigma_V = 0,6-0,9$  м/с. Таким образом, измерение малых «мгновенных» радиальных компонентов скорости ветра, например его вертикальной составляющей, при применении ДКМ и МСН статистически не обосновано. Однако при измерении средних профилей, т. е. при усреднении результатов зондирования за  $N$  периодов посылки звукового импульса, эти случайные ошибки существенно уменьшаются примерно в  $\sqrt{N}$  раз, в то время как систематические практически не изменяются.

Рассмотрим встречающийся на практике случай малых  $T$ , т. е. когда  $b_1 = 2\Delta f_{sc}T \ll 1$ . Так как интегрирование при этом в  $D[\hat{B}_n(\lambda_{opt})]$  соотношения (10) ведется вблизи малых значений  $-(b_1 - \lambda_{opt})$  и  $(b_1 - \lambda_{opt})$ , то допустимо разложение огибающих КФ сигнала и шума с учетом ранее сделанной замены переменных  $z = 2\Delta f_{sc}t$ :  $\rho_c(z) = 1 - \pi^2 z^2/2 + O(z^4)$ ,  $\rho_{sh}(z) = 1 - \pi^2 s_1^2 z^2/2 + O(z^4)$ . Получающееся при этом после взятия интегралов выражение для  $D[\hat{f}_c]$  достаточно громоздко, поэтому приведем данное соотношение в частном случае  $2f_n T = n$ , где  $n$  — некоторое целое, которое отражает основные особенности общего выражения для  $D[\hat{f}_c]$  при  $b_1 \ll 1$ :

$$\frac{D[\hat{f}_c]}{\Delta f_{sc}^2} = \frac{4}{\pi^4 (b_1 - \lambda_{opt})^2} \left( 1 + \frac{3\beta}{8k^2} - \frac{\pi^2 \beta}{32k^2} \right) - \frac{2\beta}{\pi^2} + \frac{\beta}{2}, \quad (13)$$

где  $\beta = (q + s_1^2)/(q + 1)$ . Величина дисперсии в основном определяется первым членом (13), который показывает, что в отличие от случая больших длительностей реализаций, где  $D[\hat{f}_c] \sim 1/T$ , здесь  $D[\hat{f}_c] \sim \sim 1/(T - \tau_{opt})^2$  и наблюдается резкое увеличение случайной ошибки с уменьшением разности  $T - \tau_{opt}$ . В принципе можно  $D[\hat{f}_c]$  уменьшить применением смещенной оценки КФ [3], но за счет увеличения систематических ошибок. В любом случае  $D[\hat{f}_c]$  остается значительной и является серьезной преградой для корректных измерений частоты ДКМ. Так, даже при отсутствии шума из (13) следует, что  $\sigma_f/\Delta f_{sc} \approx \simeq 0,2/(b_1 - \lambda_{opt})$  (или  $\sigma_f \approx 0,1/(T - \tau_{opt})$ ) и при значениях обобщенных параметров  $k = 20$ ,  $b_1 = 0,1$ ,  $\sigma_f/\Delta f_{sc} = 2,4$ .

Для МСН случайные ошибки при малых  $T$  также достаточно велики. Так, из соотношения (18.15) [4] для дисперсии числа пулей при отсутствии шума получаем  $\sigma_f = 0,71\sqrt{\Delta f_{sc}/T}$  и при ранее указанных параметрах  $k$  и  $b_1$   $\sigma_f/\Delta f_{sc} = 3,2$ . При других соотношениях значений обобщенных параметров  $\sigma_f$  МСН, оставаясь значительными, могут быть и меньше  $\sigma_f$  ДКМ.

Таким образом, в работе исследованы точностные характеристики ДКМ измерения частоты узконолосного стационарного процесса в зависимости от длины реализации, отношения С/Ш, относительных доплеровских сдвигов и других параметров. Обоснован выбор  $\tau_i = 1/4f_n$  в качестве параметра сдвига второй точки КФ. Показано, что относительные систематические ошибки измерений доплеровских частот и скоростей в основном определяются отношением С/Ш и они меньше 10%

только при  $q \geq 10$ . Поэтому радикальным средством их уменьшения, а также, естественно, и случайных ошибок является повышение отношения С/Ш в канале обработки, особенно при изменении доплеровских сдвигов в большом частотном диапазоне. Достаточно простое и эффективное средство решения данной задачи — проведение предварительной фильтрации измеряемого сигнала набором полосовых фильтров и затем подключение к каналу ДКМ измерения частоты выхода фильтра с максимумом спектральной плотности. Аналогичные системы успешно работают в акустических локаторах, где в качестве интерполятора используется канал МСН [5].

Величина случайной ошибки определяется преимущественно длиной исследуемой реализации  $T$ . При достаточно больших  $T$ , вернее при  $T \gg 1/2\Delta f_{sc}$ , эти ошибки могут быть незначительны. В других случаях для обеспечения достоверности измерений необходимо применять усреднение первичных результатов, полученных с помощью ДКМ.

Из сравнения ДКМ и МСН можно сделать вывод о том, что ошибки измерений частоты в большинстве практических ситуаций для обоих методов примерно одинаковы, ДКМ имеет преимущество лишь при больших  $q$  или при измерении малых доплеровских сдвигов.

В заключение отметим, что проведенное в [1] экспериментальное исследование точностных характеристик ДКМ путем имитации доплеровских сдвигов узкополосных случайных сигналов относительно шума в полосе пропускания приемной системы подтверждает вышеизложенные теоретические выводы.

#### ЛИТЕРАТУРА

1. Галкин В. И., Красненко Н. П., Трофимов Ю. С. и др. Моностатический акустический локатор МАЛ-1 для измерения скорости ветра и исследования структуры пограничного слоя атмосферы.— Томск, 1981. (Препринт АН СССР, Сиб. отд-ние, ИОА; 40).
2. Owens E. J. Microcomputer-controlled acoustic echo sounder // NOAA Technical Memorandum ERL WPL-21.— Colorado, Boulder, 1977.
3. Джекинис Г., Ватте Д. Спектральный анализ и его приложения.— М.: Мир, 1971, т. 1.
4. Тихонов В. И. Выбросы случайных процессов.— М.: Наука, 1971.
5. Азизян Г. В., Каллистратова М. А., Мартвель Ф. Э. и др. Измерение профиля ветра с помощью содарного анемометра // Изв. АН СССР. Сер. Физика атмосферы и океана.— 1984.— Т. 20, № 1.

*Поступила в редакцию 22 июля 1986 г.*

---

УДК 517.444 : 621.391

М. В. ЗЮЗИН  
(Новосибирск)

#### АЛГОРИТМ СБОРКИ ОБРАТНЫХ ФИЛЬТРОВ

Пусть на равномерной сетке  $\Omega = \{0, \pm 1, \pm 2, \dots\}$  заданы значения некоторого экспериментального сигнала  $f(n)$ . Прямая задача цифровой обработки состоит в том, чтобы действовать на  $f(n)$  цифровым фильтром

$$\Phi f(n) = g(n), \quad (1)$$

осуществляющим заданное преобразование

$$\Phi e^{i\xi n} = K(\xi) e^{i\xi n} \quad (2)$$

функций  $e^{i\xi n}$  с частотной характеристикой  $K(\xi)$  на интервале  $[0, 2\pi]$ .